

بررسی عددی جریان آرام و گذرای سیال ویسکوالاستیک از نوع گزیکس حول سیلندر دایروی*

سیدرسول واردی^(۱) محمدجواد مغربی^(۲) محمود نوروزی^(۳) محمدمحسن شاهمردان^(۴)

چکیده در این پژوهش، جریان گذرای سیال ویسکوالاستیک در اطراف یک سیلندر دایروی مورد بررسی قرار می‌گیرد. روش عددی در نظر گرفته شده، روش حجم محلاود از مرتبهٔ دو است. برای بررسی جریان سیال ویسکوالاستیک حول سیلندر، از مدل گزیکس به عنوان معادلهٔ ساختاری سیال ویسکوالاستیک بهره گرفته شده است. این مدل غیرخطی از توانایی برجسته‌ای در توصیف ویسکوزیته در ناحیهٔ توانی و هم‌چنین اثر اختلاف تنش‌های نرمال برخوردار است. در این تحقیق، اثرات خاصیت الاستیک سیال ویسکوالاستیک بر فرکانس جریان و طول ناحیهٔ جریان برگشتی ایجادشده در پشت سیلندر قبل از رسیدن به رینولاز بحرانی، در قالب عدد بی بعد واپزنبرگ و هم‌چنین اثر از دیاد عدد رینولاز بر الگوی جریان سیال ویسکوالاستیک مورد بررسی قرار خواهد گرفت. هم‌چنین با بررسی توزیع فشار حول سیلندر در سیال ویسکوالاستیک و مقایسهٔ آن با جریان سیال نیوتینی، پذیره‌کاهش پسا در این گونه از سیالات مورد مطالعه قرار می‌گیرد. شایان ذکر است که نتایج حاصل از حل عددی سیال نیوتینی، با تحقیقات آزمایشگاهی و عددی پیشین مطابقت کامل دارد.

واژه‌های کلیدی مدل گزیکس، جریان ویسکوالاستیک، حل عددی، فون کارمن، سیلندر دایروی، وابسته به زمان.

Numerical Investigation of Transient Laminar Flow of a Giesekus Viscoelastic Fluid around a Circular Cylinder

S.R. Varedi

M.J. Maghrebi

M. Norouzi

M.M. Shahmardan

Abstract In this paper, the transient inertial viscoelastic flow around a circular cylinder is investigated numerically. A second order finite-volume method is used to increase the numerical accuracy. Here, the Giesekus model is used as the constitutive equation. This nonlinear model has prominent ability in describing normal stress differences and viscosity in power-law regions. The impacts of the elasticity and Reynolds number on the shedding frequency are discussed. Also, drag reduction phenomenon in the viscoelastic flow is studied by extracting pressure distribution on the cylinder surface. The obtained results are in good agreement with recent experimental and numerical investigations reported in the literature for Newtonian fluids.

Key Words Giesekus model, Viscoelastic Flow, Numerical Method, Circular Cylinder, Von Kármán, Time Dependent.

* تاریخ دریافت مقاله ۹۰/۱۱/۲۶ و تاریخ پذیرش آن ۹۲/۰۲/۲۹ می‌باشد.

(۱) کارشناس ارشد مهندسی مکانیک، دانشکده مهندسی مکانیک، دانشگاه صنعتی شاهروд.

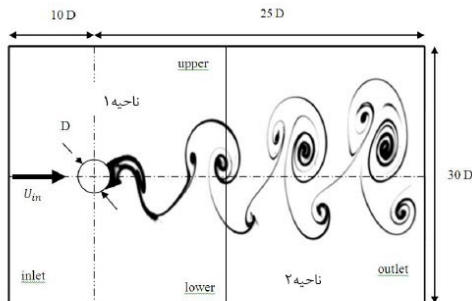
(۲) نویسنده‌ی مسؤول؛ استاد، گروه مکانیک، دانشکده مهندسی، دانشگاه فردوسی مشهد.

(۳) استادیار، گروه حرارت و سیالات، دانشکده مهندسی مکانیک، دانشگاه صنعتی شاهروд.

(۴) دانشیار، گروه حرارت و سیالات، دانشکده مهندسی مکانیک، دانشگاه صنعتی شاهرود.

مقدمه

(Von Kármán) اطلاق می‌گردد. در شکل (۱) شماتیکی از این پدیده، به هنگام عبور جریان از سیلندری دایروی آورده شده است. این پدیده، نیروهای متناوب عمودی را بر جسم اعمال می‌کند که سبب مرتعش شدن جسم تحت فرکانس خاصی می‌شود. حال اگر فرکانس نوسان با فرکانس طبیعی جسم برابر گردد، تشیدی یا رزونانس (Resonance) در جسم به وجود می‌آید. از مثال‌های معروف در این زمینه می‌توان به روش‌های محافظت از برج‌های خنک‌کن نیروگاهها در برابر جریان باد اشاره نمود. در این سازه‌ها برای جلوگیری از تشکیل گردابه‌های تناوبی و پیشگیری از وقوع پدیده رزونانس، پرهایی را به صورت مارپیچ حول آن‌ها قرار می‌دهند. از دیگر موارد وقوع این پدیده، می‌توان به ارتعاش کابل‌های انتقال قدرت، برج‌هایی با ارتفاع بلند، پایه پل‌های مستغرق در آب و جریان در مبدل‌های حرارتی اشاره نمود.



شکل ۱ پدیده فون کارمن به شکل نمادین

از موارد استفاده از این پدیده در صنعت، می‌توان به تعیین دبی جریان در خطوط نفت و گاز اشاره نمود. بر مبنای این پدیده، جسم توپی شکلی (Bluff body) در مسیر جریان قرار داده می‌شود و فرکانس گردابه‌های ایجاد شده، از طریق فشار سنج‌های بسیار حساسی که در ناحیه‌ی پایین دست جریان تعییه شده‌اند، اندازه گیری می‌گردد. از آنجایی که سرعت جریان متناسب با فرکانس تشکیل گردابه‌ها است، لذا

مطالعه‌ی جریان بر روی سیلندر، از موضوعات جالب توجه و کاربردی در دینامیک سیالات است و از جمله مسایل بنیادین در این عرصه محسوب می‌شود. این مسئله، هم در هندسه و هم در شرایط مرزی هیچ گونه محدودیتی ندارد. هم‌چنان ساختار و الگوی جریان نیز در رژیم‌های مختلف در این مسئله متفاوت می‌باشد. در جریان خرشی سیال نیوتینی ($Re < 1$)، به دلیل شرط عدم لغزش بر روی سیلندر، گردابه‌هایی به وجود می‌آید که با توجه به فرض استوکس، این گردابه‌ها در جریان پخش می‌شود و قدرت نفوذ و حرکت در جریان را ندارد. در اعداد رینولدز بین ۴ تا ۴۰، دو گردابه‌ی متقارن ایستا در پشت سیلندر به وجود می‌آید که با افزایش عدد رینولدز، اندازه‌ی آن‌ها نیز بزرگ‌تر می‌گردد. رژیم جریان در این محدوده از اعداد رینولدز، کاملاً آرام می‌باشد. هنگامی که عدد رینولدز جریان نیوتینی از حد مشخصی فراتر رود ($Re > 40$)، در اثر کوچک‌ترین شرایط ناپایداری، نقطه‌ی جدایش جریان حول جسم تغییر کرده و گردابه‌های متقارن که به شکل دنباله در پشت سیلندر به وجود آمده‌اند، در آستانه‌ی نوسان قرار می‌گیرند. در این هنگام یکی از گردابه‌ها، از پشت سیلندر جدا می‌شود و در پایین دست جریان نفوذ می‌کند. به‌منظور تعادل انرژی، گردابه‌ی دیگر جای آن را پر می‌کند و به این ترتیب و در نتیجه‌ی این ناپایداری، الگوی متقارن جریان از بین می‌رود و توزیع فشار حول جسم دستخوش تغییر می‌گردد و سبب می‌شود که گردابه‌ها، به صورت متناوب، یکی در بالا و دیگری در پایین محور تقارن جسم به وجود آیند. شایان ذکر است که در این رژیم از جریان، ناحیه‌ی ویک پشت سیلندر، شامل دو ردیف از گردابه‌ها می‌باشد که به صورت متناوب یکی در بالا و دیگری در پایین سیلندر به وجود می‌آید. به الگوی پیدایش دو ردیف از گردابه‌ها در ناحیه‌ی پشت سیلندر، پدیده‌ی فون کارمن

و گوپتا [4] و منا و کسول [5] اشاره نمود. تعدادی دیگر از این آزمایش‌ها نیز به بررسی اثرات خاصیت الاستیک سیال ویسکوالاستیک و هم‌چنین عدد رینولذز، بر خطوط جریان و پروفیل سرعت پرداخته اند که تحقیقات کنیوت و آدلر [6]، مانرو و منا [7] و اولتمن و دن [8] از جمله این آزمایش‌ها می‌باشد. در ادامه، بیشتر به بیان تاریخچه‌ای از تحقیقات ارائه شده در رابطه با ناپایداری به وجود آمده در پشت سیلندر و گردابه‌های فونکارمن حاصل از آن در سیالات ویسکوالاستیک پرداخته شده است.

گاد [2] در سال ۱۹۶۶ به بررسی تغییرات عدد استروهال (Strouhal number) با افزودن ماده‌ی پلیمری پلی‌ایزوپوتویلن در آب پرداخت. رینولذز جریان در آزمایش وی، عدد ۲۴۰ و غلظت ماده‌ی پلیمری آن بین ۵ تا ۴۰ ppm گزارش شده بود. وی مشاهده کرد که فرکانس جریان به هنگام افزودن این ماده‌ی پلیمری به حلال نیوتینی کاهش می‌یابد. از دیگر مشاهدات وی این بود که با افزایش غلظت ماده‌ی پلیمری در آب، مقدار فرکانس جریان با کاهش بیشتری مواجه خواهد شد.

آزمایشی مشابه، توسط کالاشنیکو و کودین [9] در رینولذز ۴۰۰ و غلظت ۱۰۰ ppm انجام شد. آن‌ها نیز نشان دادند که فرکانس جریان در حضور ماده‌ی پلیمری به شدت کاهش می‌یابد. در آزمایش یوسی و همکاران [10] شکل ناحیه ویک (Wake) جریان برای حلال پلیمری با غلظت‌های ۱۰۰ و ۲۰۰ و ۴۰۰ ppm در رینولذز کمتر از ۳۰۰ مورد بررسی قرار گرفت. ضمن تأیید نتایج کالاشنیکو و کودین [9]، آن‌ها نیز نشان دادند که با افزایش غلظت ماده‌ی پلیمری یا کاهش قطر سیلندر، مقدار عدد استروهال به شدت کاهش می‌یابد. از دیگر مطالعات آزمایشگاهی در این خصوص می‌توان به تحقیقات کودات و همکاران [11,12] اشاره نمود. در دو تحقیق ارائه شده توسط آنان، حلال پلیمری PEO از طریق حفره‌ای که در

می‌توان به وسیله‌ی حاصل ضرب سطح مقطع دستگاه در سرعت جریان به دست آمده، مقدار دبی گذرنده را محاسبه نمود. این دستگاه به نام ورتکس فلومتر (Vortex flow meter) مشهور می‌باشد. عدم وجود جسم متحرک، هزینه‌ی پایین نصب و هم‌چنین قابلیت استفاده از آن در اختلاف فشارهای بالا با نسبت ۱:۵ (بازه‌ی کارایی اوریفیس مترها بین ۳:۵-۱:۵ می‌باشد) از جمله مزایای استفاده از این دستگاه می‌باشد. شایان ذکر است که علاوه بر موارد ذکر شده، این موضوع در بسیاری از فرایندهای تولید مواد غذایی، بهداشتی و صنایع دارویی و شیمیایی کاربردهای گسترده دارد. از آن‌جایی که ماده‌ی اولیه در این صنایع، سیالات غیرنیوتینی می‌باشد، لذا به منظور دریافت فهمی بهتر از چگونگی تأثیر خواص رئولوژیکی (Rheology) بر الگوی پیدایش گردابه‌های فونکارمن، مدل‌سازی این نوع از جریان لازم و ضروری به نظر می‌رسد.

با توجه به مطالعات صورت گرفته توسط نویسنده‌گان این مقاله، اکثر تحقیقات پیشین در این خصوص، محدود به سیالات نیوتینی بوده‌اند، بهطوری که می‌توان گفت سهم سیالات غیرنیوتینی از جمله سیالات ویسکوالاستیک بسیار کم و انگشت‌شمار می‌باشد. لازم به ذکر است که در این گونه از سیالات، به دلیل وجود خاصیت الاستیک و غیرخطی بودن ویسکوزیته نسبت به نرخ برش، مدل‌سازی جریان سیال ویسکوالاستیک حول سیلندر خصوصاً در رینولذز بالاتر از رینولذز بحرانی (Critical Reynolds) بسیار پیچیده است. از این رو، مطالعات انجام شده در این خصوص، بیشتر بر پایه‌ی مشاهدات آزمایشگاهی می‌باشد. در تعدادی از این آزمایش‌ها، تنها به بررسی کاهش پسا (Drag) در اثر افزودن ماده‌ی پلیمری به حلال نیوتینی و اثرات خاصیت الاستیک سیال ویسکوالاستیک بر ضریب پسا پرداخته شده است که از آن جمله می‌توان به تحقیقات برودبنت و منا [1]، گاد [2]، جیمز و آکوستا [3]، جیمز

مختلف جریان را افزایش می‌دهد.

همان‌طور که ذکر شد، اکثر مطالعات انجام شده در زمینه‌ی جریان سیال ویسکوالاستیک حول سیلندر به صورت آزمایشگاهی بوده و به دلیل پیچیدگی‌های موجود خصوصاً در رابطه با مدل سازی گردابه‌های ایجاد شده در ناحیه ویک جریان، بررسی‌های عددی روی این موضوع بیشتر در اعداد رینولدز پایین و زیر رینولدز بحرانی بوده است. از جمله این تحقیقات می‌توان به کار الوبیرا [15] و ساهین و اون [16] در سال‌های اخیر اشاره نمود. آن‌ها از مدل FENE-CR به عنوان معادله‌ی ساختاری (Constitutive equation) سیال ویسکوالاستیک استفاده نموده و در اعداد رینولدز پایین، مشخصات جریان سیال حول سیلندر را استخراج نمودند. در هر دو این مطالعات، کاهش عدد استروهال، کاهش پسا و افزایش طول ناحیه‌ی ورتکس ایجاد شده در پشت سیلندر در اثر افزایش عدد واizenberg و قابلیت کشسانی (Elongation) سیال گزارش شد که با نتایج آزمایشگاهی انجام شده سازگار است. ریچتر و همکاران [17] نیز به بررسی جریان سیال ویسکوالاستیک و تغییرات در آن در اثر افزایش قابلیت کشسانی سیال در دو عدد رینولدز ۱۰۰ و ۳۰۰ پرداختند. مدل مورد استفاده در کار آن‌ها نیز مدل FENE-P بوده است. نتایج حاصل از حل در رینولدز ۱۰۰ با نتایج الوبیرا [15] مطابقت داده شد. هم‌چنین آن‌ها دریافتند که الگوی جریان در عدد رینولدز ۳۰۰، رفتار سه‌بعدی از خود نشان می‌دهد.

در تحقیق حاضر برای نخستین بار، با استفاده از مدل سه ثابت‌هه گزیکس (Giesekus) [18] به بررسی جریان سیال ویسکوالاستیک حول سیلندر پرداخته شده است. این مدل بر مبنای دیدگاه مولکولی استوار است. امتیاز اصلی این مدل آن است که قادر به ارائه‌ی رفتار توانی (Power-Law) برای ویسکوزیته و ثابت‌های اختلاف تنش (Stress differences) می‌باشد. بنابراین می‌توان با استفاده از آن، اثرات اختلاف تنش نرمال اول

بالادست جریان سیال قرار گرفته بود، به داخل آن هدایت می‌شد. در تحقیق اول [11]، آن‌ها به بررسی جریان دو بعدی در رینولدز ۱۸۵ پرداختند و با وارد کردن حلال پلیمری با دو وزن مولکولی متفاوت، اثرات آن را بر مشخصه‌های جریان استخراج نمودند. آن‌ها مشاهده کردند که با افزایش نرخ ورود ماده‌ی پلیمری با مولکول‌هایی با وزن مولکولی بالاتر، طول ناحیه ویک ایجاد شده در پشت سیلندر افزایش و ضخامت این ناحیه کاهش می‌یابد. هم‌چنین با وارد کردن ماده‌ی پلیمری با وزن مولکولی کم‌تر حتی با ازدیاد نرخ ورود آن به سیال، تأثیر محسوسی در مشخصات جریان مشاهده نشد. در تحقیق بعدی [12] ارائه شده توسط وی و همکارانش، تأثیرات خاصیت ویسکوالاستیکی سیال در تأخیر ناپایداری به صورت افزایش طول ناحیه ویک ایجاد شده در پشت سیلندر مورد مطالعه قرار گرفت. در آزمایش انجام شده توسط کرسمن و همکاران [13] برای جریان دو بعدی در رینولدز ۴۰۰، آشکار شد که در حقیقت افزودنی‌های پلیمری با وزن مولکولی بالا، به شدت فرکانس جریان را تحت تأثیر قرار می‌دهد. از طرفی برای ماده‌ی پلیمری با وزن مولکولی پایین حتی با غلطت بالا، اثرات قابل ملاحظه‌ای در جریان مشاهده نشد. هم‌چنین آن‌ها علت کاهش فرکانس جریان و کم شدن دامنه نوسان در حضور ماده‌ی پلیمری با وزن مولکولی بالا را به خاطر خاصیت الاستیک ماده‌ی پلیمری اضافه شده دانستند. اخيراً، کولهه و پنهه [14] از دو ماده‌ی پلیمری با خاصیت الاستیکی کم و زیاد به نام‌های CMC و Tylose به صورت مجزا، به عنوان افزودنی‌های پلیمری به حلال نیوتونی آب استفاده نموده و نوسانات جریان ایجاد شده در پشت سیلندر را مورد بررسی قرار دادند. محدوده‌ی رینولدز در نظر گرفته شده در کار آن‌ها بین ۵۰ تا ۹۰۰۰ بوده است. بنابراین رژیم‌های مختلفی از جریان را پوشش می‌داد. آن‌ها دریافتند که افزایش خاصیت الاستیک سیال، رینولدز بحرانی در رژیم‌های

$$\frac{\partial(\rho u)}{\partial t} + u \cdot \nabla(\rho u) = -\nabla p + \nabla \cdot \tau + \rho g \quad (2)$$

در معادلات فوق، ρ چگالی سیال، u بردار سرعت، p فشار، g شتاب جاذبه می‌باشد. سهم تنش ناشی از حلال نیوتینی τ و تنش ناشی از خاصیت الاستیک ماده‌ی پلیمری τ_p را می‌توان به صورت معادله‌ی (۳) از هم تفکیک نمود [۱۹]:

$$\tau = \tau_s + \tau_p \quad (3)$$

معادله‌ی مکانیکی ساختاری برای توصیف رابطه بین تنش و نرخ برش در حلال نیوتینی به صورت رابطه‌ی (۴) می‌باشد:

$$\tau_s = \eta_s \dot{\gamma} \quad (4)$$

که در آن η_s ویسکوزیته حلال نیوتینی و $\dot{\gamma}$ تانسور نرخ برش است و به صورت زیر بیان می‌شود.

$$\dot{\gamma} = \nabla u + |\nabla u|^T \quad (5)$$

هم‌چنین سهم تنش ناشی از خاصیت الاستیک سیال ویسکوالاستیک، از حل معادله‌ی ساختاری گزیکس رابطه (۶) حاصل می‌شود.

$$\tau_p + \lambda_1 \tau_{p(1)} + a \frac{\lambda_1}{\eta_p} (\tau_p \cdot \tau_p) = \eta_p \dot{\gamma} \quad (6)$$

در معادله‌ی فوق، $\tau_{p(1)}$ مشتق فوق همرفتی تانسور (Upper convected derivative)، λ_1 زمان آسودگی (Relaxation Time) از تنش و η_p ویسکوزیته ماده‌ی پلیمری در نرخ برش صفر است. هم‌چنین a ضریب پویایی (Mobility factor) یا تحرک در سیال ویسکوالاستیک است که بیانگر رفتار غیر ایزوتروپیک بروونی در هیدرودینامیک مولکولی ماده

و دوم بر جریان را نیز مشاهده نمود. در این پژوهش، به دلیل وجود شرایط ناپایداری و غیر متناظر بودن جریان، هندسه‌ی مسئله کامل در نظر گرفته شده است. همان‌طور که در شکل (۱) مشاهده می‌شود، به منظور جلوگیری از تأثیر مرزهای بالایی و پایینی بر جریان، شرط لغزش برای آن‌ها در نظر گرفته شده است و تا حد ممکن، فاصله‌ی مرزها تا سیلندر زیاد انتخاب شده است. از جمله نوآوری‌های موجود در این تحقیق، بررسی اثرات خاصیت الاستیک بر فرکанс گردبهای فون کارمن و طول ناحیه‌ی جریان برگشتی قبل از رسیدن به رینولدز بحرانی با استفاده از مدل رئولوژیکی گزیکس می‌باشد. هم‌چنین با رسم تغییرات فشار حول سیلندر در جریان سیال ویسکوالاستیک و مقایسه‌ی آن با حالت نیوتینی، به بررسی پدیده‌ی کاهش پسا در جریان سیالات ویسکوالاستیک پرداخته شده است. عدد رینولدز پایه در نظر گرفته شده برای بررسی اثرات الاستیک سیال بر جریان، مقدار ثابت ۱۰۰ می‌باشد. خاصیت الاستیک سیال در قالب عدد بی بعد واizenberg و در محدوده صفر تا ۸۰ تغییر داده شده است. هم‌چنین با افزایش عدد رینولدز در محدوده ۵۰ تا ۱۲۰ در عدد واizenberg ثابت، به بررسی اثر آن بر الگوی جریان سیال ویسکوالاستیک و مقایسه آن با جریان سیال نیوتینی پرداخته شده است. روش عددی در نظر گرفته شده، روش حجم محدود می‌باشد و گستره‌سازی معادلات حاکم از مرتبه دو نسبت به زمان و مکان می‌باشد تا دقیق‌تر در حل معادلات حاکم حاصل شود.

معادلات حاکم و معادله‌ی ساختاری

معادلات حاکم برای جریان آرام تراکم‌ناپذیر سیال ویسکوالاستیک شامل معادله‌ی پیوستگی و معادله‌ی بقاع مومنتوم می‌باشد که به ترتیب در زیر آورده شده است.

$$\nabla \cdot u = 0 \quad (1)$$

الاستیک به نیروی حاصل از ویسکوزیته از عدد بی بعد وایزنبرگ و به منظور تعیین نسبت نیروی اینرسی به نیروی ویسکوز، از عدد بی بعد رینولدز بهره گرفته شده است. هم‌چنین فرکانس جریان نیز در قالب عدد بی بعد استروهال بیان شده است. این اعداد به صورت روابط (11) تعریف شده‌اند.

$$We = \lambda_1 \frac{U_{in}}{D} \quad Re = \frac{\rho U_{in} D}{\eta_0} \quad St = \frac{f_s D}{U_{in}} \quad (11)$$

در این روابط، D ، بیانگر قطر سیلندر، U_{in} سرعت جریان آزاد، f_s فرکانس نوسان، η_0 ، مجموع ویسکوزیته‌ی ماده‌ی پلیمری و حلال نیوتینی در نرخ برش صفر می‌باشد. شایان ذکر می‌باشد که مقادیر سرعت با U_{in} ، فشار با ρU_{in}^2 ، زمان و ورتیسیتی با (U_{in}/D) به فرم بی بعد بیان شده‌اند.

روش حل عددی

گسته‌سازی معادلات حاکم بر جریان بر پایه‌ی روش حجم محدود (FVM) می‌باشد. برای حل مقرنون به صرفه معادلات غیر خطی کوپل شده، از روش تکرار عددی استفاده شده است. برای این منظور، از الگوریتم سیمپل (SIMPLE) استفاده شده است. در این روش به جای آن که از خود فشار در محاسبات استفاده شود از تصحیح فشار استفاده می‌گردد. همین امر در مورد میدان سرعت نیز برقرار است. یعنی سرعت‌هایی که از حل دستگاه خطی حاصل از معادله مومتوم و با کمک فشار در گام زمانی قبلی به دست آمده‌اند، به عنوان مقادیر مبنایی فرض می‌شوند که تصحیحی باید به آن‌ها اضافه شود. لازم به ذکر است که می‌توان تمامی معادلات حاکم بر جریان را به صورت فرم کلی رابطه‌ی (12) بیان نمود [20].

$$\frac{\partial}{\partial t}(A\phi) + \frac{\partial}{\partial x_j}(Au_j\phi) = \frac{\partial}{\partial x_j}\left(\Gamma \frac{\partial \phi}{\partial x_j}\right) + S_\phi \quad (12)$$

ویسکوالاستیک می‌باشد. مطابق آزمایش‌های صورت گرفته در مطالعات اخیر [19] محدوده‌ی واقعی این پارامتر برای سیالات ویسکوالاستیک بین $a < 0.5$ و $a > 0$ می‌باشد. شایان ذکر است که سیال ویسکوالاستیک مورد نظر در تحقیق حاضر، محلول رقیق پلی‌ایزو بوتیلن (Polyisobutylene) در تترادکان (Tetradecane) می‌باشد. مشتق فوق هم‌رفته برای تانسور تنش پلیمری به صورت زیر بیان می‌شود.

$$\tau_{p(l)} = \frac{D}{Dt} \tau_p - [\nabla u^T \cdot \tau_p] - [\tau_p \cdot \nabla u] \quad (7)$$

که در آن $(D/Dt)\tau$ مشتق مادی (Material derivative) برای تنش پلیمری است که به صورت معادله‌ی (8) بیان می‌شود.

$$\frac{D}{Dt} \tau_p = \frac{\partial}{\partial t} \tau_p + u \cdot \nabla \tau_p \quad (8)$$

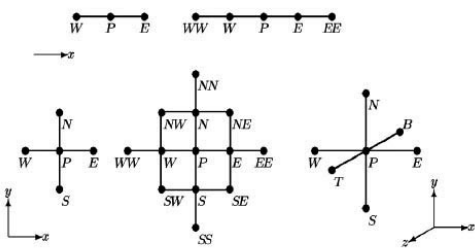
با قرار دادن $\dot{\tau}_p = \tau - \tau_s = \tau + \eta_s \dot{\gamma}$ در معادله‌ی (6)، می‌توان این معادله را به فرم معادله‌ی (9) بازنویسی نمود.

$$\begin{aligned} \tau + \lambda_1 \tau_{(1)} + \alpha \frac{\lambda_{(1)}}{\eta_{(0)}} \{ \tau \cdot \tau \} - \alpha \lambda_{(2)} \{ \gamma_{(1)} \cdot \tau + \gamma_{(1)} \} = \\ \eta_{(0)} [\gamma_{(1)} + \lambda_{(2)} \gamma_{(2)} - \alpha \frac{\lambda_2^2}{\lambda_1} \{ \gamma_{(1)} \cdot \gamma_{(2)} \}] \end{aligned} \quad (9)$$

بنابراین می‌توان ویسکوزیته در نرخ برش صفر η_0 ، زمان رهایی (Retardation Time) از تنش λ_2 و پارامتر پویایی در سیال ویسکوالاستیک a را بر حسب η_s, η_p, α و λ_1 به صورت روابط (10) بیان نمود.

$$\eta_0 = \eta_s + \eta_p ; \lambda_2 = \lambda_1 \frac{\eta_s}{\eta_p} ; a = \frac{\alpha}{1 - (\lambda_2/\lambda_1)} \quad (10)$$

در این مقاله مقدار α برابر 0.5 در نظر گرفته شده است. برای تعیین نسبت نیروی ناشی از خاصیت



شکل ۲ المان حجم محدود برای گره محاسباتی P

نتایج و بحث

در ابتدای این قسمت، حساسیت و دقت کد CFD تهیه شده به منظور مطالعه‌ی این جریان، مورد بررسی قرار می‌گیرد. برای بررسی میزان حساسیت (استقلال حل از شبکه‌ی محاسباتی) و همچنین دستیابی به شبکه‌ای مطلوب برای حل، چهار نوع شبکه مورد آزمایش قرار گرفته‌اند و نتایج آن‌ها با هم مقایسه شده است. مشخصات این شبکه‌ها در جدول (۱) آورده شده است. در این جدول، N_0 معروف تعداد سلول‌ها حول سیلندر، δ_s اندازه کوچکترین سلول که با قطر سیلندر بی بعد شده است، R_1 و R_2 به ترتیب نواحی ۱ و ۲ نشان داده شده در شکل (۱) و N_c تعداد کل سلول‌های شبکه می‌باشند.

جدول ۱ مشخصات شبکه‌های مختلف

N_c	R_2	R_1	$\delta_s \text{ min}$	N_0	شبکه
۱۵۰۵۰۸	۱۶۹۰۶	۱۳۳۶۰۲	۰.۰۶۸	۴۵	M-1
۲۲۵۲۷۴	۱۶۹۰۶	۲۰۸۳۶۸	۰.۰۳۴	۹۰	M-2
۳۱۱۰۱۶	۱۶۹۰۶	۲۹۴۱۱۰	۰.۰۲۲	۱۳۵	M-3
۴۹۰۹۰۰	۱۶۹۰۶	۴۷۳۹۹۴	۰.۰۱۶	۱۸۰	M-4

شبکه‌ها به صورت بی‌سازمان می‌باشند و اندازه‌ی سلول‌ها حول سیلندر، ریزتر انتخاب شده است (شکل ۳). دستگاه مشخصات مرجع در مرکز سیلندر و محور X در راستای جریان اصلی قرار گرفته و برای

در این رابطه، ϕ متغیر کاری است که می‌تواند یک مولفه از یک بردار یا تانسور و حتی یک مقدار ثابت باشد. ضرایب A , Γ , S_ϕ معانی متفاوتی برای متغیرهای کاری مختلف با خود به همراه دارد. عبارت S_ϕ جمله چشمی است که تعریف آن در معادلات مختلف متفاوت می‌باشد. این پارامترها در معادله‌ی پیوستگی به صورت $P = \rho, A = \rho, S_\phi = 0$, در معادله‌ی $\phi = \tau_{ij}, A = \lambda, \Gamma = 0$ تعریف مومترم به صورت (۱۲) بر المان حجم محدود P می‌شود. از معادله‌ی (۱۲) در هر گام زمانی حل انتگرال گیری می‌شود، سپس با استفاده از قضیه‌ی دیورژانس، رابطه‌ی (۱۳) حاصل می‌شود.

$$A \frac{\Delta V}{\Delta t} (\phi_p - \phi_p^n) + \int (A u_j \phi - \Gamma \frac{\partial \phi}{\partial x_j}) n_j dA = \bar{S}_\phi \quad (13)$$

در رابطه‌ی بالا، اندیس P معرف نقاط شبکه‌ی محاسباتی، بالاترین n مقدار محاسبه شده در زمان t_n \bar{S}_ϕ انتگرال حجم جمله چشمی \bar{S}_ϕ می‌باشد. مقدار \bar{S}_ϕ در معادله‌ی (۱۳) را می‌توان به صورت رابطه‌ی (۱۴) خطی‌سازی نمود.

$$\bar{S}_\phi = \int_{\Delta V} S_\phi dV = \bar{S}_c + \bar{S}_p \phi_p \quad (14)$$

در معادله‌ی (۱۴)، \bar{S}_c قسمتی از \bar{S}_ϕ می‌باشد که به طور صریح وابسته به ϕ نیست و \bar{S}_p ضریبی از ϕ می‌باشد که پایداری عددی دستگاه معادلات حاصل از گسسته‌سازی را بهبود می‌دهد. دستگاه معادلات گسسته شده نهایی که رابطه‌ی بین ϕ_p و نقطه‌ی همسایه آن را برقرار می‌کند، برای هر المان حجم محدود به صورت زیر حاصل می‌شود.

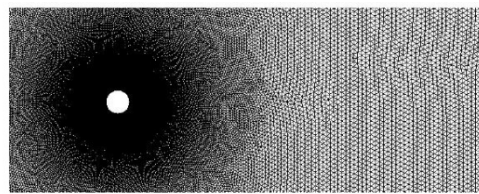
$$a_p \phi_p = \sum a_{nb} \phi_{nb} + \bar{S}_c + a_p^0 \phi_p^n \quad (15)$$

$$a_p^0 = A \frac{\Delta V}{\Delta t}, \quad a_p = \sum_{nb} a_{nb} + a_p^0 - \bar{S}_p \quad (16)$$

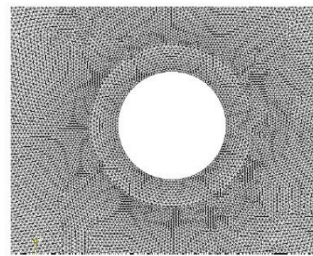
مکانی استفاده شده است. مقدار عدد کورانت برابر ۱ در نظر گرفته شده است، به نحوی که نسبت $\frac{\Delta t}{\Delta x}$ در چهار شبکه ثابت باشد. شایان ذکر است که شرایط اولیه مسئله کاملاً متقارن در نظر گرفته شده است، به نحوی که سیال در حال سکون است و نوسان در جریان به صورت طبیعی رخ می‌دهد. در ابتدای مدل‌سازی، گردابه‌های به وجود آمده در اثر شرط عدم لغزش بر سیلندر در ناحیه پشت آن، کاملاً متقارن‌اند و با افزایش گام زمانی اولیه، مشاهده می‌شود که گذشت چند گام زمانی اولیه، مشاهده می‌شود که گردابه‌های متقارن، به صورت متناوب یکی در بالا و دیگری در پایین سطح سیلندر شروع به نوسان می‌کنند به‌نحوی که دو ردیف از گردابه‌ها در پشت سیلندر به وجود می‌آیند. حرکت منظم گردابه‌ها، سرعت نسبی را در ناحیه ویک سیلندر به وجود خواهد آورد که به صورت کاملاً پریودیک می‌باشد. با رسیدن به رژیم کاملاً توسعه یافته از جریان تناوبی، مشاهده می‌شود که تغییرات در ضرایب برآ و پسا کاملاً رفتار سینوسی از خود نشان می‌دهند (به شکل ۴ رجوع شود). رفتار سینوسی گردابه‌ها را به این صورت می‌توان توجیه نمود که چرخش گردابه‌ها حین نوسان در دو جهت مخالف می‌باشد، به نحوی که در یک ردیف از گردابه‌ها، این چرخش در جهت مثلثاتی و در ردیف دیگر در جهت عکس مثلثاتی می‌باشد.

محور افق در نمودار شکل (۴) با استفاده از حاصل ضرب U_{in}/D در زمان، به فرم بی‌بعد در آمده است. محدوده تغییرات ضرایب پسا برای چهار شبکه‌ی مورد بررسی، به ترتیب بین ۱.۳۹ تا ۱.۴۱ می‌باشد. نتایج بدست‌آمده از حل چهار شبکه‌ی محاسباتی در جدول (۲) لیست شده است. در این جدول، زمان ایجاد یک نوسان کامل ($T(s)$ ، متوسط ضرایب برآ و پسا و نیز عدد استروهال برای جریان

ارزیابی اثر بهبود شبکه بر حل، تعداد گره‌ها تا به دست آوردن شبکه‌ای مناسب به ترتیب افزایش داده شده است. در این تحقیق سعی شده که موقعیت قرارگیری صفحات مرزی نسبت به سیلندر طوری باشد که هیچگونه اثری بر جریان نداشته باشد. به عبارتی اندازه‌ی مرزهای محاسباتی به گونه‌ای است که جریانی با مرزهای نامحدود را حول سیلندر مدل نماید. برای این مظور مرز ورودی و خروجی به ترتیب در فاصله‌های ۲۰ و ۵۰ برابر شعاع نسبت به مرکز سیلندر قرار گرفته و فاصله‌ی مرزهای بالایی و پایینی نسبت به مرکز سیلندر ۳۰ برابر شعاع سیلندر در نظر گرفته شده است.



الف



ب

شکل ۳ شبکه‌ی M-3 (الف: محدوده‌ی حل، ب: بزرگ‌نمایی شبکه حول سیلندر)

در مرز ورودی، جریانی با سرعت یکنواخت وارد شده، تنش و گرادیان فشار در آن برابر صفر می‌باشد. در خروجی جریان، گرادیان سرعت و گرادیان تنش برابر صفر و فشار برابر فشار اتمسفری می‌باشد. در صفحات مرزی بالایی و پایینی، شرط لغزش در نظر گرفته شده است. بر روی سیلندر نیز شرط عدم لغزش حاکم می‌باشد و گرادیان فشار و تنش در آن برابر صفر است. در اینجا از گسته‌سازی مرتبه دوم زمانی و

نتایج حاصل از کار الوریرا [15] برای جریان سیال نیوتونی در $Re=100$ ، مشاهده می‌شود که در شبکه‌ی سوم مقدار خطای کمتر از 1.28% می‌باشد. بنابراین می‌توان این گونه بیان نمود که در این تعداد گره، حل عددی تقریباً مستقل از شبکه است. پرا واضح است که با افزایش تعداد سلول‌ها، خطای در حل عددی کاهش می‌یابد، به طوری که در شبکه‌ی M-4 با افزایش تعداد سلول‌ها از 135 به 180 عدد، این مقدار خطای به 1.22% کاهش یافته است. اما باید توجه داشت که این امر به افزایش شدید زمان و حجم محاسبات منجر می‌شود. لذا در این پژوهش جهت اجتناب از هر گونه وابستگی تحلیل به شبکه، تمامی محاسبات بر مبنای شبکه M-3 انجام شده است.

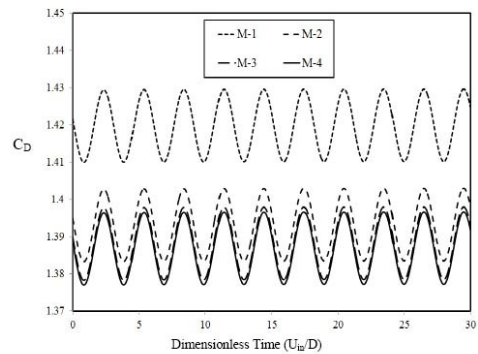
در این مقاله، به منظور مدل‌سازی جریان سیال ویسکوالاستیک حول سیلندر، برای نخستین بار از مدل سه ثابتی‌ی گزیکس به عنوان معادله‌ی ساختاری سیال ویسکوالاستیک استفاده شده است. این مدل غیر خطی، توانایی برجسته‌ای در توصیف ویسکوزیته در ناحیه‌ی توانی و هم‌چنین اثر اختلاف تنش‌های نرمال برخوردار است و توابع ویسکومتریک در آن کامل می‌باشد. در شکل (۵)، توزیع میدان ورتیسیته در عدد واizenبرگ ۸۰ و رینولدز ۱۰۰ قبل از شروع نوسان در جریان آورده شده است.



شکل ۵ میدان ورتیسیته $(\omega/(U/D))$, min:-43 ; max: 43

در شکل (۶)، خطوط جریان در رینولدز بحرانی برای چهار عدد واizenبرگ مختلف نشان داده شده

سیال نیوتونی ($We=0$) و در رینولدز ۱۰۰ محاسبه گردیده و متوسط خطای ضریب پسا اندازه‌گیری شده با کار الوریرا [15] مورد مقایسه قرار گرفته است.



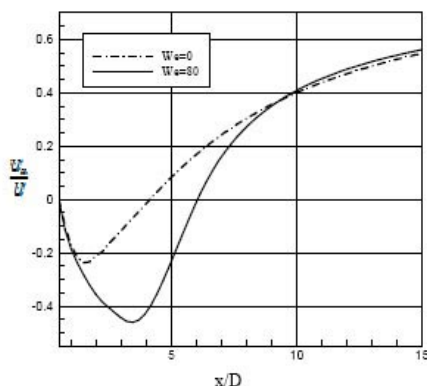
شکل ۴ تغییرات ضرایب پسا نسبت به زمان بی بعد برای چهار شبکه M-1 تا M-4

جدول ۲ نتایج به دست آمده از شبکه‌های مختلف

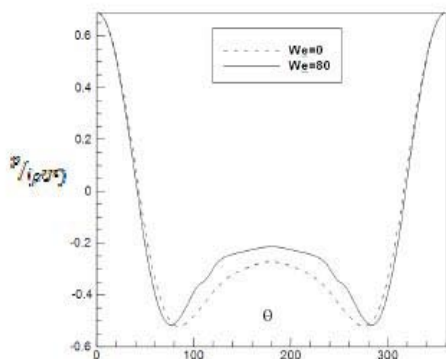
درصد خطای با کار [15]	\bar{C}_D	ΔC_L	St	T(s)	شبکه
۳.۴۹	۱.۴۱۹۷	۰.۳۷۰۳	۰.۱۶۵۲	۶.۰۵۲	M-1
۱.۶۴	۱.۳۹۳۳	۰.۳۴۴۷	۰.۱۶۴۶	۶.۰۷۵	M-2
۱.۲۸	۱.۳۸۸۱	۰.۳۰۱۵	۰.۱۶۴۰	۶.۰۹۷	M-3
۱.۲۲	۱.۳۸۶۷	۰.۲۹۸۲	۰.۱۶۳۷	۶.۱۰۷	M-4

در جدول فوق، ضریب پسا به صورت $C_L = \frac{F_y}{0.5\rho U^2 d}$ و ضریب برآ به صورت $C_D = \frac{F_x}{0.5\rho U^2 d}$ تعریف می‌گردد که در آن F_x و F_y مولفه‌های نیرو بر سیلندر می‌باشد. هم‌چنین متوسط ضریب برآ به صورت $\bar{C}_D = \frac{1}{2}(C_{D\max} + C_{D\min})$ محاسبه شده به صورت $\Delta C_L = \frac{1}{2}(C_{L\max} - C_{L\min})$ متوسط ضریب پسا است. با توجه به نمودارهای ضرایب برآ و پسا ارائه شده در بالا می‌توان دریافت که مقادیر حاصل از شبکه‌های M-1، M-2 و M-3 به سمت شبکه‌ی M-4 میل می‌کند. هم‌چنین با مقایسه مقادیر ضریب پسا با

سطح سیلندر می‌باشد. برای این منظور، توزیع فشار برای حالت نیوتونی و ویسکوالاستیک در شکل (۸) آورده شده است. مشاهده می‌شود که توزیع فشار در جریان سیال ویسکوالاستیک نسبت به حالت پایه نیوتونی، با افزایشی نسبی همراه است. این موضوع به دلیل کاهش تنش برشی است که در اثر خاصیت الاستیک سیال ویسکوالاستیک رخ داده و سبب وجود آمدن پدیده‌ی کاهش پسا در جریان این‌گونه از سیالات می‌شود. در شکل (۹) توزیع میدان ورتیسیته بعد از شروع نوسان در عدد $We=80$ و $\alpha=0.5$ در عدد $Re=100$ آورده شده است.

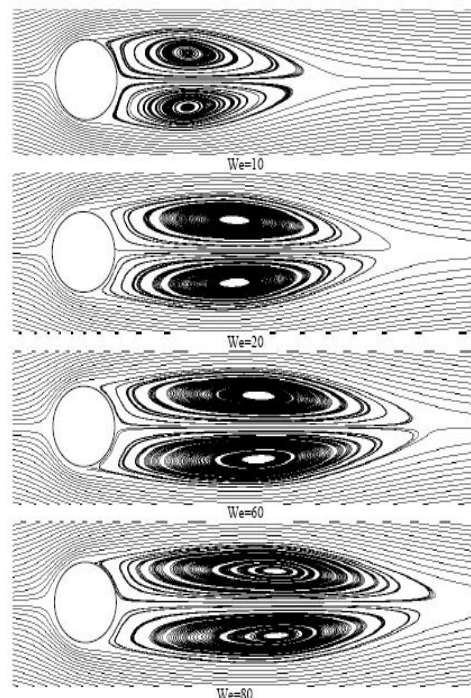


شکل ۷ تغییرات سرعت محوری برای جریان سیال نیوتونی ($We=0$) و ویسکوالاستیک ($We=80$)



شکل ۸ توزیع فشار روی سطح سیلندر برای جریان سیال ویسکوالاستیک ($We=80$) و نیوتونی (زاویه‌ی شروع، از نقطه‌ی سکون شروع شده و به صورت ساعتگرد می‌باشد)

است. مشاهده می‌شود که این طول به صورت پیوسته، با افزایش عدد وایزنبُرگ، زیاد می‌شود. در واقع، از دیاد خاصیت الاستیک سیال، سبب افزایش پایداری در جریان شده که در نتیجه‌ی آن، رینولدز بحرانی جریان افزایش یافته است. با اندازه‌گیری فاصله بین نقطه‌ی انتهایی سیلندر تا نقطه‌ای که سرعت محوری در آن به صفر می‌رسد، می‌توان طول ناحیه‌ی گردابه‌ی تشکیل شده در پشت سیلندر را محاسبه نمود. در شکل (۷) تغییرات سرعت محوری در ناحیه‌ی پشت سیلندر برای حالت نیوتونی و ویسکوالاستیک آورده شده است. این طول، برای جریان سیال نیوتونی برابر $D = 4.07D$ و برای جریان سیال ویسکوالاستیک با عدد وایزنبُرگ ۸۰ برابر $L = 6.1D$ می‌باشد.



شکل ۶ خطوط جریان در رینولدز بحرانی در محدوده‌ی عدد وایزنبُرگ $0 \leq We \leq 80$

افزایش طول ناحیه‌ی سیرکولاژیون (Circulation) در پشت سیلندر، در اثر تغییر در توزیع فشار روی

می باشد. مشاهده می شود که دامنه و فرکانس جریان در سیال ویسکوالاستیک نسبت به سیال نیوتینی کم تر است. هم چنین کاهش دامنه نسبت به فرکانس باشد پیشتری رخ می دهد.

در جدول (۳) نتایج به دست آمده در اثر افزایش خاصیت الاستیک سیال ویسکوالاستیک در قالب عدد واizenberg آورده شده است. با افزایش عدد واizenberg از صفر تا $\alpha = 0.5$ در $Re = 100$ و $St = 0.165$ می شود که دورهی تناوب نوسانات جریان، افزایش می یابد. این در حالی است که فرکانس جریان نیز در قالب عدد استروهال با همان نسبت کاهش می یابد.

جدول ۳ اثر افزایش خاصیت الاستیک بر مشخصه های جریان

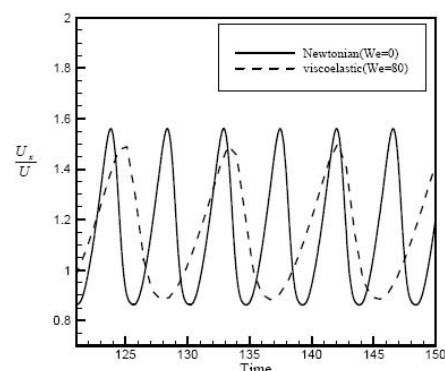
We	St	ΔC_L	\bar{C}_d	$C_{d\max}$	$C_{d\min}$
0	0.165	0.342	1.370	1.380	1.360
5	0.157	0.188	1.323	1.327	1.320
10	0.155	0.167	1.300	1.312	1.307
20	0.155	0.156	1.302	1.304	1.300
40	0.155	0.152	1.298	1.300	1.296
60	0.155	0.151	1.297	1.296	1.295
80	0.155	0.150	1.296	1.298	1.294

با توجه به جدول (۳)، برای مقادیر واizenberg بالاتر از ۲۰ تغییرات ایجاد شده در عدد استروهال و ضرایب برآ و پسا محسوس نمی باشد. علت ثابت ماندن عدد استروهال از یک عدد واizenberg مشخص به بعد را می توان به زمان آسودگی از تنش سیال ویسکوالاستیک ربط داد. بدین صورت که زمان ایجاد یک تناوب، بعد از واizenberg ۲۰، از زمان آسودگی از تنش سیال ویسکوالاستیک کم تر می باشد. لذا انتظار نمی رود تغییری در فرکانس جریان به وجود آید. در واقع هنگامی که زمان آسودگی از تنش، λ از زمان دوره تناوب بیشتر باشد، می توان گفت که عملاً تغییری در فرکانس در اثر افزایش خاصیت الاستیک رخ نخواهد داد. به منظور بررسی اثر افزایش عدد رینولدز بر



شکل ۹ جریان نوسانی به وجود آمده در پشت سیلندر در $a=0.5$ و $We=80, Re=100$

تغییرات سرعت محوری نسبت به زمان برای یک نقطه در ناحیهی جریان برگشتی سیال ویسکوالاستیک (We=80) و جریان نیوتینی (We=0) در شکل (۱۰) آورده شده است. با مقایسهی توزیع میدان های سرعت سیال ویسکوالاستیک و نیوتینی در این شکل می توان دریافت که دامنهی نوسان در جریان سیال ویسکوالاستیک، نسبت به حالت نیوتینی کم تر می باشد. به علاوه آن که کاهش محسوسی در فرکانس جریان نیز مشاهده می شود. دلیل چنین موضوعی را می توان به خاصیت الاستیک سیال ویسکوالاستیک و هم چنین کاهش ویسکوزیته نسبت به نرخ برش در این گونه از سیالات مرتبط دانست.



شکل ۱۰ سرعت محوری در یک نقطه نسبت به زمان

در شکل (۱۰)، انتخاب زمان شروع در یکی از لحظاتی بوده است که جریان نوسانی در آن به حالت پایدار رسیده است. محور عمودی نیز در این نمودار با استفاده از سرعت ورودی جریان به صورت بی بعد

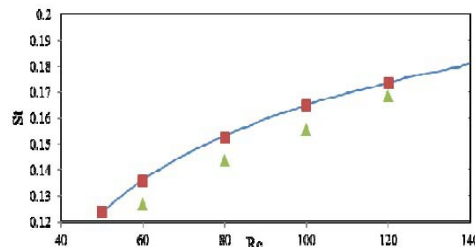
با توجه به جدول (۴)، مقادیر به دست آمده از فرکانس جریان سیال ویسکوالاستیک به خاطر وجود خاصیت الاستیک سیال، کمتر از جریان سیال نیوتینی در همان عدد رینولدز می باشد. لازم به ذکر است که هیچ گونه اطلاعات آزمایشگاهی و یا عددی برای مقایسه‌ی نتایج جریان سیال ویسکوالاستیک وجود ندارد. با مقایسه نتایج جریان سیال نیوتینی و ویسکوالاستیک در جدول (۴) برای هر یک از اعداد رینولدز انتخابی مشاهده می شود که نه تنها فرکانس جریان تحت تأثیر خاصیت الاستیک جریان کاهش می باید، بلکه دامنه‌ی ضرایب برآ و پسا نیز به شدت تحت تأثیر این پارامتر از سیال ویسکوالاستیک قرار می گیرد، به نحوی که در عدد رینولدز ۱۲۰، مقدار ضریب برآ برای جریان ویسکوالاستیک تقریباً به نصف مقدار خود در جریان سیال نیوتینی می رسد.

نتیجه گیری

در این پژوهش، برای نخستین بار از مدل گزینکس به عنوان معادله‌ی ساختاری سیال ویسکوالاستیک در شبیه‌سازی جریان حول استوانه استفاده شده است. این مدل، توانایی بر جسته‌ای در توصیف ویسکوزیته در ناحیه‌ی توانی و همچنین اختلاف تنش‌های نرمال دارد. لذا با استفاده از این مدل می‌توان به بررسی اثرات اختلاف تنش‌های نرمال بر جریان پرداخت. از جمله دستاوردهای این پژوهش می‌توان به موارد زیر اشاره نمود:

- در یک عدد رینولدز ثابت، با افزایش خاصیت الاستیک سیال قبل از رینولدز بحرانی، طول دنباله‌ی ایجاد شده در پشت سیلندر افزایش می‌یابد. این طول، برای جریان سیال نیوتینی برابر $L = 4D$ و برای جریان سیال ویسکوالاستیک با $We = 80$ برابر $L = 6D$ می‌باشد.
- خاصیت الاستیک و همچنین خاصیت

مشخصه‌های جریان سیال ویسکوالاستیک از قبیل عدد استروهال و ضرایب برآ و پسا، این عدد در محدوده‌ی بین ۵۰ تا ۱۲۰ برای هر دو جریان سیال ویسکوالاستیک ($We = 80, \alpha = 0.5$) و سیال نیوتینی مورد بررسی قرار گرفت که نتایج آن در جدول (۴) آورده شده است. همچنین نتایج حاصل از افزایش عدد رینولدز بر جریان سیال نیوتینی با تحقیقات آزمایشگاهی انجام شده توسط ویلیامسون [21] در شکل (۱۱) مورد مقایسه قرار گرفته است. تطابق خوبی بین نتایج آزمایشگاهی و نتایج عددی در این نمودار مشاهده می‌شود. این مقایسه بر روشن عددی به کار گرفته شده در این پژوهش صحه می‌گذارد.



شکل ۱۱ مقایسه‌ی نتایج به دست آمده با نتایج حاصل از تحقیقات پیشین (— خط نتایج کار آزمایشگاهی ویلیامسون [21]، □ جریان نیوتینی در کار حاضر، △ جریان سیال ویسکوالاستیک در کار حاضر)

جدول ۴ اثر افزایش عدد رینولدز بر مشخصه‌های جریان سیال نیوتینی و ویسکوالاستیک

Re	St	ΔC_L	$C_{D\max}$	$C_{D\min}$	\bar{C}_D
Newtonian					
50	0.124	0.060	1.476	1.476	1.476
60	0.136	0.136	1.440	1.438	1.439
80	0.144	0.252	1.390	1.390	1.395
100	0.165	0.342	1.380	1.360	1.380
120	0.173	0.426	1.374	1.341	1.358
Viscoelastic ($We=80, \alpha=0.5$)					
50	0	0	1.478	1.478	1.478
60	0.126	0.025	1.401	1.401	1.401
80	0.143	0.090	1.333	1.332	1.332
100	0.155	0.150	1.298	1.294	1.296
120	0.168	0.211	1.283	1.276	1.279

نسبت کاهش می‌یابد.

- رشد فرکانس جریان نسبت به عدد رینولدز در جریان سیال ویسکوالاستیک نسبت به جریان نیوتونی با نرخ کمتری همراه است. به نحوی که در عدد رینولدز ۱۲۰، مقدار ضریب برآ برای جریان ویسکوالاستیک تقریباً به نصف مقدار خود در جریان سیال نیوتونی می‌رسد.

باریک‌شوندگی ویسکوزیته نسبت به نرخ بررش در سیالات ویسکوالاستیک، سبب افزایش نسبی فشار در ناحیه‌ی پشت سیلندر می‌شود که نتیجه‌ی آن، وقوع پدیده‌ی کاهش پسا در این‌گونه از سیالات می‌باشد.

- در یک عدد رینولدز ثابت، با افزایش خاصیت الاستیک سیال در قالب عدد واینبرگ، دوره‌ی تناوب نوسانات جریان، افزایش می‌یابد. این در حالی است که فرکانس جریان نیز در قالب عدد استروهال با همان

مراجع

1. Broadbent, K.M. and Mena, B., "Slow flow of an elasto-viscous fluid past cylinder and spheres". *J. Non-Newtonian Fluid Mech*, Vol. 8, pp. 11-19, (1974).
2. Gadd, G.E., "Effects of long-chain molecule additives in water on vortex streets", *Nature*, Vol. 211, pp. 169–170, (1966).
3. James, D.F. and Acosta, A.J., "The laminar flow of dilute polymer solutions a round circular cylinder", *J. Fluid Mech*, Vol. 42, pp. 269-288, (1970).
4. James, D.F. and Gupta, O.P., "Drag on circular cylinders in dilute polymer solution", *Chemical Engineering Journal*, Vol. 67, pp. 62, (1971).
5. Mena, B. and Caswell, B., "Slow flow of an elastic-viscous fluid past an immersed body", *Chemical engineering Journal*, Vol. 8, pp. 125-134, (1974).
6. Koniute, A. and Adler, P.M., "Flow of dilute polymer solutions around circular cylinders", *J. Non-Newtonian Fluid Mech*, Vol. 7, pp. 101-106, (1980).
7. Manero, O. and Mena, B., "On the flow of a viscoelastic liquids past a circular cylinder", *J. Non-Newtonian Fluid Mech*, Vol. 9, pp. 379-387, (1981).
8. Ultman, J.S. and Denn, M.M., "Slow viscoelastic flow past submerged objects". *Chemical engineering Journal*, Vol. 2, pp. 81-89, (1971).
9. Kalashnikov, N. and Kudin, A.M., "Kármán vortices in the flow of drag reduction polymer solutions", *Nature*, Vol. 225, pp. 445–446, (1970).
10. Usui, H., Shibata, T. and Sano, Y., "Kármán vortex behind a circular cylinder in dilute polymer solutions", *Chemical Engineering Journal*, Vol. 13, pp. 77–79, (1980).
11. Cadot, O. and Kumar, S., "Experimental characterization of viscoelastic effects on two- and three-dimensional shear instabilities", *J. Fluid Mech*, Vol. 416, pp. 151–172, (2000).
12. Cadot, O. and Lebey, M., "Shear instability inhibition in a cylinder wake by local injection of viscoelastic fluid", *Phys. Fluid*, Vol. 11, pp. 494–496, (1999).

13. Cressman, J.R., Bailey, Q. and Goldburg, W.I., "Modification of a vortex street by a polymer additive", *Phys. Fluids*, Vol. 13, pp. 867–871, (2001).
14. Coelho, P.M. and Pinho, F.T., "Vortex shedding in cylinder flow of shear-thining fluids I. Identification and demarcation of flow regime", *J. Non-Newtonian Fluid Mech*, Vol. 110, pp. 143–176, (2003).
15. Oliveira, P.J., "Method for time-dependent simulations of viscoelastic flows; vortex shedding behind cylinder", *J. Non-Newtonian Fluid Mech.* Vol. 101, pp. 113–137, (2001).
16. Sahin, M. and Owens, R.G., "On the effects of viscoelasticity on two-dimensional vortex dynamics in the cylinder wake", *J. Non-Newtonian Fluid Mech*, Vol. 123, pp. 121–139, (2004).
17. Richter, D., Iaccarino, G. and Shaqfeh, E.S.G., "Simulation of three-dimentional viscoelastic flows past a circular cylinder at moderate Reynolds numbers", *J. Fluid Mech*, pp. 1–28, (2010).
18. Giesekus, H., "A simple constitutive equation for polymer fluids based on the concept of deformation-dependent tensorial mobility". *J. Non-newtonian Fluid Mech*, Vol.11, pp. 69-109, (1982).
19. Bird, R.B. and Wiest, J.M., "Constitutive equations for polymeric liquids", *Annu. Rev. Fluid Mech*, Vol. 27, pp. 169–193, (1995).
20. Xue, S.C., Phan-Thein, N. and Tanner, R.I., "Numerical study of secondary flows of viscoelastic fluid in straight pipes by an implicit finite volume method ", *J. Non- Newtonian Fluid Mech*, Vol. 59, pp. 191–213, (1995).
21. Williamson, C.H.K., "Oblique and parallel modes of vortex dislocations due to a point disturbance in a planer wake". *J. Fluid Mech*, Vol. 206, (1989)